

3734

Экз. чит. зала

ОБЪЕДИНЕННЫЙ
ИНСТИТУТ
ЯДЕРНЫХ
ИССЛЕДОВАНИЙ

Дубна

13 - 3734



Ю.К.Акимов

К СТАТИСТИКЕ ФОТОЭЛЕКТРОНОВ
СЦИНТИЛЛАЦИОННОГО СЧЕТЧИКА
ПРИ ВРЕМЕННЫХ ИЗМЕРЕНИЯХ

ОБЪЕДИНЕННЫЙ ИНСТИТУТ
ЯДЕРНЫХ ИССЛЕДОВАНИЙ

1968

13 - 3734

Ю.К.Акимов

К СТАТИСТИКЕ ФОТОЭЛЕКТРОНОВ
СЦИНТИЛЛЯЦИОННОГО СЧЕТЧИКА
ПРИ ВРЕМЕННЫХ ИЗМЕРЕНИЯХ

Научно-техническая
библиотека
ОИЯИ

1. Введение

В работе Поста и Шиффа^{1/} по теории временного разрешения сцинтилляционного счётчика было получено среднее значение времени появления Q -го фотоэлектрона и дисперсия этого времени:

$$\bar{t}_Q = \frac{Q r}{R_0} \left(1 + \frac{Q+1}{2 R_0} + \dots \right) \quad (1)$$

$$D_{t_Q} = \frac{Q r^2}{R_0^2} \left(1 + \frac{2(Q+1)}{R_0} + \dots \right) \quad (2)$$

Здесь r – постоянная времени высвечивания сцинтиллятора, R_0 – среднее количество фотоэлектронов за полное время сцинтилляции.

Приведенные выражения получены в предположении $R_0 \gg 1$ и $Q \ll R_0$.

Q может быть тем количеством фотоэлектронов, начиная с которого срабатывает схема, подключенная к фотоумножителю. (Такую схему в дальнейшем будем именовать пороговой). Современные высокоскоростные фотоумножители характеризуются весьма малой временной дисперсией вырабатываемых импульсов. Даже при регистрации отдельных фотоэлектронов дисперсия, обусловленная фотоумножителем, составляет ≈ 1 нсек и менее. Поэтому нередко, особенно при использовании сравнительно медленных неорганических сцинтилляторов, статистика фотоэлектронов может играть основную роль в ограничении временного разрешения сцинтилля-

ционного счётчика. Разрешение будет улучшаться с уменьшением Q вплоть до $Q=1$, что, в частности, видно из экспериментальных работ^{/2,3/}, где использовался иодистый натрий.

На практике происходит ухудшение разрешения за счёт разброса в энергии, оставляемой частицей в сцинтилляторе ($R_0 \neq \text{const}$). Для компенсации влияния этого разброса широко используется так называемый метод пересечения нуля, в котором порог регистрации обычно соответствует половине от полного заряда, образующегося на выходе фотоумножителя, т.е. $Q = R/2$. ^{/4/}.

Однако с увеличением Q возрастает дисперсия D_{t_Q} . Количество сравнение двух методов регистрации: пороговой схемой и по пересечению нуля дано в работе^{/5/}. В этой работе делается справедливое заключение в пользу пороговых схем, срабатывающих от начальной части импульса.

Вместе с тем приведенные там количественные оценки нуждаются в дополнительном рассмотрении. В частности, для схемы, срабатывающей от начала импульса, принятая дисперсия втрое меньшая, чем следовало бы из (2). Действительно, этим отличается схема, срабатывающая не в момент t_Q , а при

$$\bar{t} = \frac{\bar{t}_1 + \bar{t}_2 + \dots + \bar{t}_Q}{Q}.$$

Однако при этом должно выполняться условие $Q \gg 1$ и в предельном, часто наиболее интересном случае, когда $Q = 1$, дисперсия оказывается такой же, как и в случае обычной пороговой схемы, т.е. определяется выражением (2).

Далее, при $Q = R/2$ в^{/5/} использовалось значение дисперсии $D_{t_Q} = \frac{Q\tau^2}{R_0^2}$, совпадающее с первым членом (2). При этом имеется оговорка, что данное выражение получено для $Q \ll R_0$, и реальная дисперсия в случае $Q = R/2$ должна быть больше расчётной.

В работе^{/7/} совершенно верно отмечается, что обычно используемые теоретические представления дают бесконечно большую дисперсию, если Q приближается к R_0 , в то время как экспериментальные данные и метод Монте-Карло свидетельствуют о конечных значениях дисперсии.

Ограниченнное значение дисперсии дает также работа^{/8/}, где задача определения \bar{t}_Q и D_{t_Q} решалась в более общем виде, чем в^{/1/}. Еще раньше эта задача при произвольных Q и R рассматривалась в работе^{/9/}. Однако анализ работ^{/8/} и^{/9/} показывает, что имеется необходимость в уточнении или соответствующем изменении некоторых развитых в них положений.

В настоящей работе был сделан более корректный подход к задаче, хотя использованный математический аппарат оказался даже проще. Ясно, что решения задачи должны удовлетворять критериям, которые вытекают непосредственно из физики процессов сцинтилляционного счётчика. Поэтому остановимся вначале на двух таких критериях и сравним с ними результаты работ^{/8/} и^{/9/}.

2. Характерные особенности распределения фотоэлектронов во времени

Как и во всех вышеупомянутых работах, будем считать, что сцинтиллятор высвечивается по закону простой экспоненты.

Предположим, что число фотонов N в сцинтилляционной вспышке чрезвычайно велико. Тогда чрезвычайно велико и среднее число фотоэлектронов $R_0 = pN$, где p – квантовый выход фотокатода. Относительная дисперсия полного количества фотоэлектронов при переходе от вспышки к вспышке будет пренебрежимо мала, т.е. всегда $R \approx R_0$, и для определения времени образования Q -го фотоэлектрона можно воспользоваться непосредственно формулой

$$Q = R_0 (1 - e^{-t/\tau}), \quad (3)$$

откуда

$$t = -\tau \ln (1 - \frac{Q}{R_0}). \quad (4)$$

В частности, когда $Q = \frac{R_o}{2}$,

$$t_{R_o/2} = r \ln 2 \approx 0,69 r . \quad (5)$$

Это выражение получено для больших R_o . Ниже будет показано, что необходимым и достаточным условием для его выполнения является выполнение соотношения $\frac{R_o}{2} \gg 1$. Обратим внимание, что $t_{R_o/2}$ определяется только постоянной времени высвечивания сцинтиллятора и не зависит от квантового выхода фотокатода, как это следовало бы из работы^{/8/} (см. первую часть выражения (23)). На основании^{/8/} при $r = 0,1$ $t_{R_o/2} = 0,4 r$, что противоречит критерию (5) (в^{/8/} обозначено $r = 1/k$, $Q = v$, $R_o = R$).

Рассмотрим теперь другой предельный случай, когда интенсивность сцинтилляционной вспышки, наоборот, чрезвычайно мала. При этом в каждом событии мы имеем дело фактически лишь с одним фотоэлектроном, т.е. полное количество фотоэлектронов равно либо единице, либо нулю. Отсутствие фотоэлектрона приведет только к неэффективности регистрации интересующих нас событий и никак не может повлиять на распределение фотоэлектронов во времени в регистрируемых событиях. На основании (3) вероятность появления какого-либо фотоэлектрона за время t составляет

$$\phi(t) = 1 - e^{-t/r} \quad (6)$$

По определению $\bar{t} = \int_0^\infty t \frac{1}{r} e^{-t/r} dt$

$$\text{и } D_t = \bar{t}^2 - \bar{t}^2 = \int_0^\infty t^2 \frac{1}{r} e^{-t/r} dt - \bar{t}^2 ,$$

откуда найдем

$$\bar{t} = \tau \quad (7)$$

и

$$D_{\bar{t}} = \tau^2. \quad (8)$$

В отличие от этих величин, в работе/9/ получены $\bar{t} = 0,5 \tau$ и $D_{\bar{t}} = 0,25 \tau^2$, т.е. значения, явно заниженные.

3. Определение среднего времени прибытия

Q -го фотоэлектрона и дисперсия этого времени

С учётом всего вышесказанного, обратимся теперь к задаче определения \bar{t}_Q и $D_{\bar{t}_Q}$ в случае произвольных Q и R . При этом в существенной мере (однако не полностью) будет использован подход к задаче, развитый в/9/.

Итак, если на фотокатод за время одной сцинтилляционной вспышки попадает N фотонов, то вероятность образования полного количества фотоэлектронов R равна/10,11/

$$N P_R = \frac{N!}{R!(N-R)!} p^R (1-p)^{N-R} \quad (9)$$

Величина N сама флюктуирует, поэтому (9) необходимо просуммировать по всевозможным N с учётом вероятности образования каждого N . Однако, поскольку число фотоэлектронов значительно меньше числа фотонов в сцинтилляционной вспышке, которое флюктуирует и может иметь значения, условно принимаемые за бесконечно большие, то для определения P_R следует воспользоваться законом Пуассона

$$P_R = \frac{R_o^{R_e - R_o}}{R!} \quad (10)$$

При $\sqrt{R_0} \gg 1$ распределение P_R описывается законом Гаусса.

Из всей совокупности событий выделим и рассмотрим сначала события с некоторым полным числом фотоэлектронов R . Вероятность появления какого-либо фотоэлектрона из R за время t описывается (6).

В дальнейшем нам будет удобнее пользоваться безразмерной величиной $\theta = t / \tau$, поэтому перепишем (6) в виде

$$\phi(\theta) = 1 - e^{-\theta}. \quad (11)$$

Определим вероятность появления Q фотоэлектронов за время θ . Итак, имеется ограниченное количество R фотоэлектронов. Вероятность появления каждого из них за некий интервал времени t равна ϕ . Требуется определить вероятность образования за этот интервал Q фотоэлектронов. Легко видеть, что постановка задачи ничем не отличается от определения вероятности образования R фотоэлектронов при N фотонах и квантовом выходе фотокатода p , определяющей вероятность образования одного фотоэлектрона. Поэтому на основании (9) после замены N на R , R на Q и p на ϕ , получим:

$$P_{RQ}(\theta) = \frac{R!}{(R-Q)! Q!} \phi^Q (1-\phi)^{R-Q}. \quad (12)$$

Теперь определим вероятность того, что последний Q -ый фотоэлектрон образовался в интервале времени $d\theta$, заключенном между θ и $\theta + d\theta$. Интервал $d\theta$ выберем настолько малым, чтобы можно было пренебречь случаями попадания в него одновременно двух и более фотоэлектронов. Любой из R фотоэлектронов с вероятностью $d\phi$ может попасть в $d\theta$, поэтому вероятность обнаружить там фотоэлектрон равна $R d\theta$. Однако, чтобы этот фотоэлектрон оказался Q -ым, из остальных $R-1$ фотоэлектронов за время t должно появиться $Q-1$ фотоэлектронов. Вероятность $P_{R-1} P_{Q-1}$ находится из (12) заменой R на $R-1$, а Q на $Q-1$. В результате искомая вероятность обнаружения Q -го фотоэлектрона в интервале $d\theta$ через время θ равна

$$R \int_0^{\infty} W_Q(\theta) d\theta = \sum_{R=1}^{R-1} P_{Q-1} R d\phi \quad (13)$$

Если время θ не фиксировано, т.е. допущено произвольное изменение θ от 0 до ∞ , то вероятность появления Q -го фотоэлектрона должна быть равна 1. В приложении 1 показано, что

$$\int_0^{\infty} R \int_0^{\infty} W_Q(\theta) d\theta = 1, \quad (14)$$

т.е. выражение (13) удовлетворяет указанному требованию.

Полная вероятность попадания Q -го фотоэлектрона в интервале $d\theta$ после θ при любых R составит

$$W_Q(\theta) d\theta = \sum_{R=Q}^{N=\infty} P_R \int_0^{\infty} W_Q(\theta) d\theta \quad (15)$$

Интегрирование (15) в пределах $\theta = 0 \div \infty$ с учётом (14) дает

$$\epsilon_Q = \sum_{R=Q}^{\infty} P_R \quad (16)$$

вероятность того, что Q -ый фотоэлектрон когда-либо вообще появится. Возможное отличие этой величины от единицы обусловлено отсутствием в (15) членов с $R < Q$. Величина ϵ_Q в дальнейшем будет называться эффективностью регистрации.

Особый интерес будет представлять случай с $Q = 1$. Ясно, что неэффективность при этом возникает только при малых R_0 , когда заметна вероятность $P_{R=0}$. Используя (10), найдем $\epsilon_1 = 1 - P_{R=0}$ при значениях $R_0 = 1, 2, 3$. Получим, соответственно, $\epsilon_1 = 0,65; 0,88$ и $0,95$.

Подчеркнем, что в методе перечесения нуля принимается не $Q = \frac{R_0}{2}$, а $Q = \frac{R}{2}$, где R может быть любым, поэтому в принципе эффективность регистрации такая же, как и при $Q = 1$, т.е. в случае $R_0 > 3$ эффективность $\epsilon_{R/2} = 1$.

Для разделения частиц по энерговыделениям нередко приходится вводить довольно высокий уровень дискриминации, т.е. величина Q выбирается довольно близкой к R_0 . При этом обычно стремятся также сохранить полную эффективность регистрации эффекта, т.е. иметь $\epsilon_Q \approx 1$. Трудности, естественно, возрастают с уменьшением R_0 , сопровождающимся расширением распределения P_R , измеренного в единицах R/R_0 . Если P_R описывается законом Гаусса, то, например, для условия $\epsilon_Q > 0,9$ нетрудно получить

$$Q < R_0 - 1,3 \sqrt{R_0} . \quad (17)$$

В частности, если $Q = 0,9 R_0$, то $R_0 = 170$.

Знание функции (15) в принципе достаточно для определения \bar{t}_Q и $D_{\bar{t}_Q}$. В приложении 2 показано, что в общем виде эти величины записываются, как

$$\bar{t}_Q = \frac{r}{\epsilon_Q} \sum_{R=Q}^{\infty} P_R \sum_{i=Q-1}^{i=0} \frac{1}{R-i} \quad (18)$$

$$D_{\bar{t}_Q} = \frac{r^2}{\epsilon_Q} \sum_{R=Q}^{\infty} P_R \left[\left(\sum_{i=Q-1}^{i=0} \frac{1}{R-i} \right)^2 + \sum_{i=Q-1}^{i=0} \frac{1}{(R-i)^2} \right] - \bar{t}_Q^2 \quad (19)$$

Рассмотрим вначале наиболее простой случай $Q=1$. При этом

$$\bar{t}_1 = \frac{r}{\epsilon_1} \sum_{R=1}^{\infty} P_R \frac{1}{R} \quad (20)$$

$$D_{\bar{t}_1} = \frac{2r^2}{\epsilon_1} \sum_{R=1}^{\infty} P_R \frac{1}{R^2} - \bar{t}_1^2 \quad (21)$$

Величины t_1 и D_{t_1} для малых R_0 (от 0 до 10) приведены на рис. 1. При вычислениях использовались табулированные значения вероятностей P_R , описываемых законом Пуассона. На рис. 1 для сравнения приведена зависимость $\frac{D_{t_1}}{r^2} = \frac{1}{R_0^2}$, соответствующая первому члену выражения (2). Такая зависимость дает заниженные значения дисперсии, за исключением $R_0 = 1$. Например, при $Q=4$ дисперсия оказывается в 3,2 раза выше, чем $\frac{r^2}{R_0^2}$. Однако с увеличением R_0 дисперсия все лучше и лучше описывается выражением $\frac{r^2}{R_0^2}$. В частности, при $R_0=16$ последнее дает значение, отличающееся от (21) всего лишь на 15%.

При $R_0=1$ дисперсия оказывается меньше, чем $\frac{r^2}{1}$. Интересно определить дисперсию в случае $\epsilon_1 \ll 1$. Например, если в каждом событии возникает в среднем по одному фотону, то при $r=0,1$ в среднем каждое десятое событие будет сопровождаться выходом фотоэлектрона, т.е. $\epsilon_1 = 0,1$. Вероятностью образования более, чем одного фотоэлектрона, можно пренебречь и из (20) и (21) найти $t = r$ и $D_t = r^2$. Этот результат находится в полном соответствии с (7) и (8).

Рассмотрим теперь среднее время \bar{t}_Q и его дисперсию при произвольных Q . Для $R_0 = 10$ такие зависимости приведены на рис. 2. На этом же рисунке даны корни квадратные из значений дисперсии, которые определяют разрешающее время сцинтилляционного счетчика. Видно, что при $Q=R_0$ дисперсия имеет ограниченное значение.

Остановимся на случаях, когда P_R описывается законом Гаусса и эффективность $\epsilon_Q \approx 1$.

Упростим выражения (18) и (19). Суммирование членов типа $P_R \Psi(R)$ по всевозможным значениям R дает среднее значение $\bar{\Psi}(R)$. В указанных выражениях суммирование ведется, начиная с члена $R=Q$. Однако условие $\epsilon_Q = 1$ позволяет не принимать во внимание члены $P_R \Psi(R)$ с $R < Q$ и положить

$$\sum_{R=Q}^{\infty} P_R \Psi(R) = \bar{\Psi}(R).$$

Если $\Psi(R)$ – плавно меняющаяся функция, как в нашем случае, а распределение P_R довольно узкое, что выполняется при нормальном распределении, то в первом приближении $\bar{\Psi}(R) = \Psi(R_0)$. На основании этого нетрудно получить:

$$\bar{t}_Q = r \sum_{i=Q-1}^{i=0} \frac{1}{R_0 - i} \quad (22)$$

$$D_{t_Q} = r^2 \sum_{i=Q-1}^{i=0} \frac{1}{(R_0 - i)^2} \quad (23)$$

Положив $Q = 1$, найдем $\bar{t}_1 = \frac{r}{R_0}$ (24)

$$D_{t_1} = \frac{r^2}{R_0^2} \quad (25)$$

Ранее отмечалось, что такие значения получаются, уже начиная с $R_0 \approx 16$.

Выражения (22) и (23) можно упростить, если воспользоваться формулой

$$\sum_{i=0}^{Q-1} f(i) = \frac{1}{h} \int_0^{Q-1} f(x) dx + \frac{1}{2} [f(Q-1) + f(0)], \quad (26)$$

где h — шаг i . В нашем случае $h = 1$. Получим

$$\bar{t}_Q = r [\ell_n \frac{R_0}{R_0 - Q + 1} + \frac{1}{2} (\frac{1}{R_0} + \frac{1}{R_0 - Q + 1})] \quad (27)$$

$$D_{t_Q} = r^2 \{ \frac{1}{R_0 - Q + 1} - \frac{1}{R_0} + \frac{1}{2} [\frac{1}{(R_0 - Q + 1)^2} + \frac{1}{R_0^2}] \}. \quad (28)$$

Видно, что подстановка $Q = 1$ вновь приводит к (24) и (25). При

$$Q = \frac{R_0}{2} \gg 1 \quad \bar{t}_Q = r \ell_n 2 \quad \text{и}$$

$$D_{t_{R_0/2}} = \frac{r^2}{R_0} \quad (29)$$

Следовательно, полученное среднее значение времени появления Q -го фотоэлектрона удовлетворяет критерию (5).

Таким образом, дисперсия, обусловленная сцинтиллятором и фотокатодом, в методе пересечения нуля в R_0 раз выше, чем при регистрации по первому фотоэлектрону.

Остановимся еще на случае с $Q > \frac{R_0}{2}$, но все-таки $\epsilon \approx 1$.

Ранее говорилось, что такая ситуация возникает при дискриминации импульсов по амплитуде перед схемой, осуществляющей временные измерения. После дискриминатора средняя амплитуда импульса пропорциональна $\Delta R = R - Q$. Полагая $\Delta R \gg 1$, из (28) получим

$$D_{t_Q} = r^2 \left(\frac{1}{\Delta R} - \frac{1}{R_0} \right) \approx \frac{r^2}{\Delta R} \quad (30)$$

$R_0 \gg \Delta R$.

Интересно отметить, что эта величина может быть значительной как для неорганических сцинтилляторов, где r велико, так и органических. Например, при $r = 4$ нсек $R_0 = 160$ и $\Delta R = 0,1 R_0$ найдем $D_{t_Q} = 1$ нсек.

Автор благодарен А.А.Тяпкину за ценные замечания.

Приложение 1

Покажем, что

$$\int_0^\infty \frac{W_R(\theta)}{Q} d\theta = 1 \quad (\text{П.1})$$

При интегрировании по θ от 0 до ∞ функция ϕ (см. выражение (11)) изменяется от 0 до 1. Интегрируя (13), запишем правую часть (13), как

$$\frac{R!}{(Q-1)!(R-Q)!} \int_0^1 \phi^Q (1-\phi)^{R-Q} d\phi \quad (\text{П.2})$$

Введем обозначения $Q = x$ и $R - Q = y - 1$. Полученный интеграл представляется через гамма-функции

$$\int_0^1 \phi^{x-1} (1-\phi)^{y-1} d\phi = \frac{\Gamma(x)\Gamma(y)}{\Gamma(x+y)} = \frac{(x-1)!(y-1)!}{(x+y-1)!} \quad (\text{П.3})$$

Возвращаясь вновь к прежним обозначениям, убеждаемся, что (П.2) дает единицу, т.е. условие (П.1) выполняется.

Приложение 2

Для определения среднего времени появления Q -го фотоэлектрона \bar{t}_Q и дисперсии $D_{\bar{t}_Q}$, как и в ^{1,9/}, используем метод производящих функций.

Интересующая нас производящая функция записывается в виде:

$$G(s) = \int_0^{\infty} w_Q(\theta) s^{\theta} d\theta, \quad (\text{П.4})$$

где s — некоторая переменная.

Полагая $s=1$, имеем

$$[G(s)]_{s=1} = \epsilon_Q \quad (\text{П.5})$$

(см. (16)).

Производящая функция обладает следующими свойствами

$$\left[\frac{1}{G} - \frac{\partial G}{\partial s} \right]_{s=1} = \bar{\theta}_Q = \frac{\bar{t}_Q}{r} \quad (\text{П.6})$$

$$\left[\frac{1}{G} \left(\frac{\partial^2 G}{\partial s^2} + \frac{\partial G}{\partial s} \right) - \left(\frac{1}{G} - \frac{\partial G}{\partial s} \right)^2 \right]_{s=1} = D_{\theta_Q} = \frac{D_{t_Q}}{r^2} \quad (\text{П.7})$$

Используя (11), (15) и (П.3), найдем

$$G(s) = \sum_{R=Q}^{\infty} P_R \frac{R!}{(R-Q)!} \frac{\Gamma(R-Q+1-\ell_{ns})}{\Gamma(R+1-\ell_{ns})} \quad (\text{П.8})$$

Воспользовавшись свойством гамма-функции $\Gamma(z+1) = z\Gamma(z)$, получим

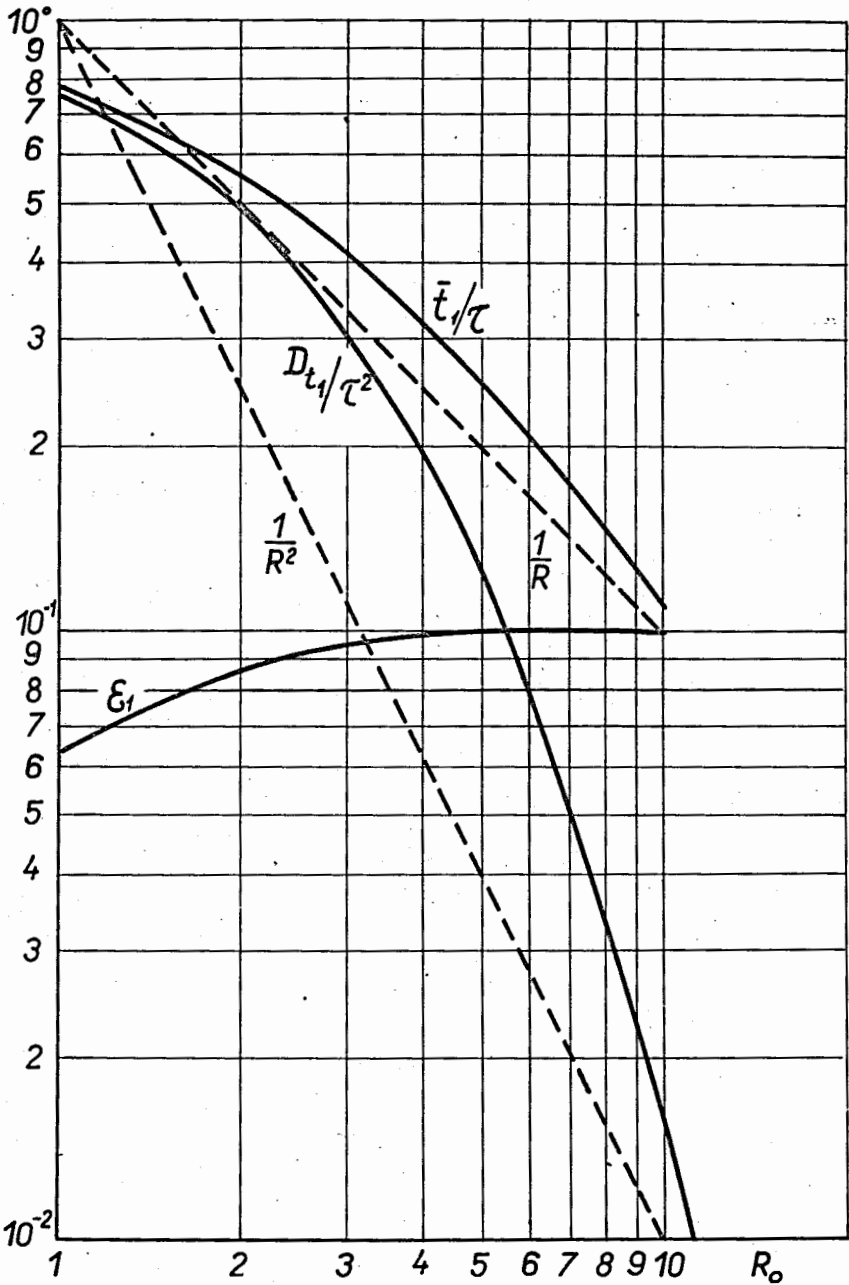
$$G(s) = \sum_{R=Q}^{\infty} P_R \frac{R!}{(R-Q)!} \frac{1}{\prod_{i=Q-1}^{R-1} (R-i-\ell_{as})} \quad (\text{П.9})$$

Дифференцируя (П.9) и используя (П.6), найдем (18). Двойное дифференцирование (П.9) с учётом (П.7) даёт (19).

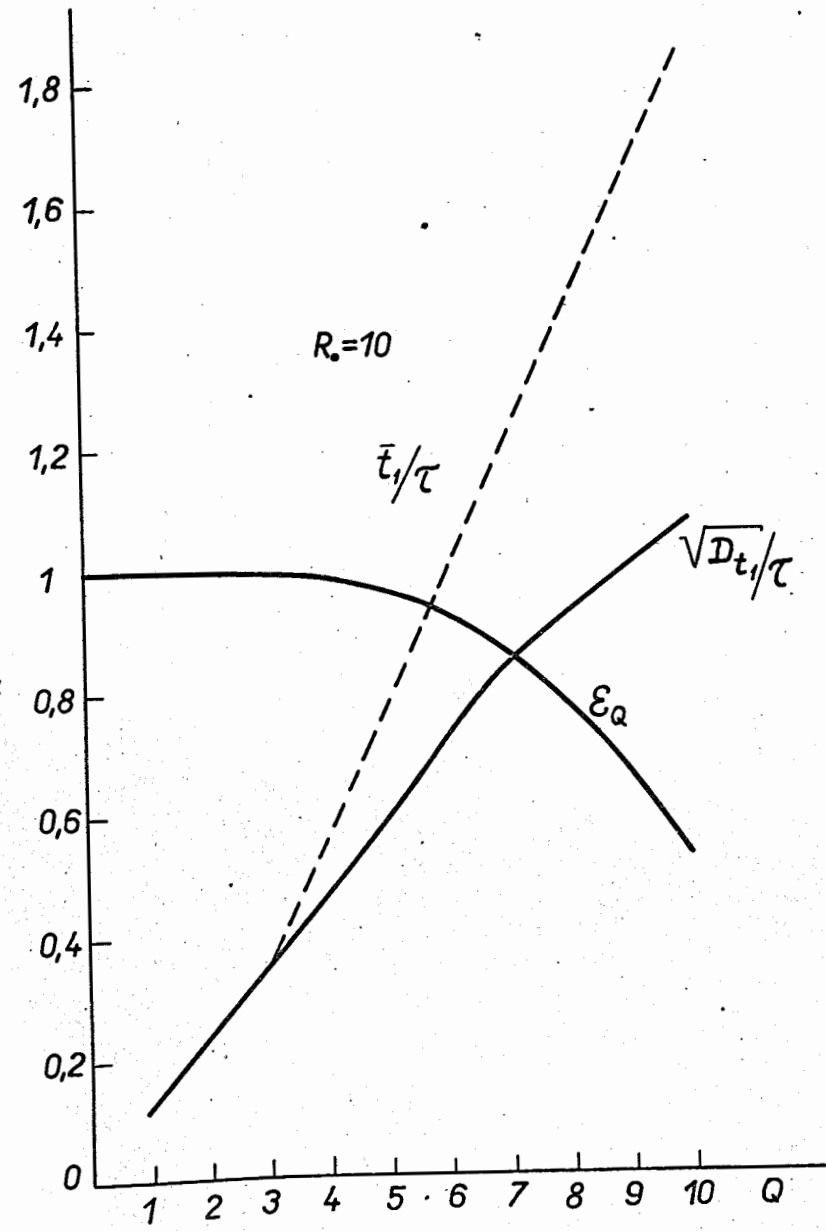
Л и т е р а т у р а

1. Post R.F., Schiff L.T., *Phys. Rev.*, 80, 1113 (1950).
2. Currie W.M., *Nucl. Instrum. Methods*, 13, 215 (1961).
3. Lynch F.J. *IEEE Trans. NS-13*, N 3, 140 (1966).
4. Weinzierl P. *Rev. Sci. Instrum.*, 27, 226 (1956).
5. Bell R.F., *Nucl. Instrum. Methods*, 42, 211 (1966).
6. Colombos S., Gatti E., Pignanelli M., *Nuovo Cimento*, 5, 1739 (1957).
7. Cocchi M., Rota A., *Nucl. Instrum. Methods*, 55, 365 (1967).
8. Sigfridsson B., *Nucl. Instrum. Methods*, 54, 13 (1967).
9. Якушин В.В., ПТЭ, № 3, 93 (1965).
10. Арлей Н., Бух К. *Введение в теорию вероятностей и математическую статистику*, стр. 32, М., И.Л. 1951.
11. Акимов Ю.К. *Сцинтилляционные методы регистрации частиц больших энергий*, стр. 32, М., Изд. МГУ, 1963.
12. Гольданский В.И., Куценко А.В., Подгорецкий М.И., *Статистика отсчётов при регистрации ядерных частиц*, стр. 379, М., Физматгиз, 1959.

Рукопись поступила в издательский отдел
23 февраля 1968 года.



Puc.1.



Puc.2.